

Из выражений (6) и (7) найдем

$$\sigma^2 = \lambda_0 \int_0^{\infty} h^2(\tau) d\tau.$$

Это означает, что в рассматриваемом случае в общей погрешности преобладает погрешность, обусловленная статистической природой источника излучения (с учетом ограничения (4)).

Аналогично [2] формулы (8), (9) можно обобщить на случай независимых флюктуаций амплитуд импульсов на входе фильтра. Используя выражения (2), (5), (5'), сравнительно легко можно найти центральные моменты любого порядка процесса  $Y(t)$ .

#### ЛИТЕРАТУРА

1. Л. К. Т а т о ч е н к о. Радиоактивные изотопы в приборостроении. М., Атомиздат, 1960.
2. В. И. Т и х о н о в. Статистическая радиотехника. М., «Советское радио», 1966.
3. И. А. Б о л ь ш а к о в. Статистические проблемы выделения потока сигналов из шума. М., «Советское радио», 1968.

Поступило в редакцию 16 апреля 1973 г.

УДК 538.56

В. А. ГЕРАНИН, А. К. ЕГОРОВ, И. И. КОЗЛОВ

(Киев)

#### ТОЧНОСТЬ КОРРЕЛОМЕТРИИ НЕСТАЦИОНАРНЫХ СЛУЧАЙНЫХ ПРОЦЕССОВ ПРИ НАЛИЧИИ ПОМЕХ

Результаты измерений вероятностных характеристик случайных процессов нередко искажены помехами. При этом существенны закон распределения помехи и характер воздействия последней на анализируемый процесс.

Исследуем влияние на точность измерения корреляционной функции нестационарного случайного процесса (НСП)  $S(t)$  гауссовой помехи  $N(t)$ .

Рассмотрим случай аддитивной и мультипликативной помех.

В качестве модели НСП примем эргодический (по отношению к корреляционной функции) случайный процесс

$$S(t) = \varphi(t)Z(t), \quad (1)$$

где  $\varphi(t)$  — детерминированный процесс;  $Z(t)$  — стационарный гауссов процесс с нулевым математическим ожиданием. Полагаем, что экспериментатор располагает единственной реализацией  $S(t)$ . В качестве оценки  $\tilde{R}_S(t_0, \tau)$  корреляционной функции  $R_S(t_0, \tau)$  НСП  $S(t)$  примем случайную функцию

$$\tilde{R}_S(t_0, \tau) = \int_{t_0-T}^{t_0} X(t)X(t-\tau)h(t_0-t)dt = \int_0^T X(t_0-t)X(t_0-t-\tau)h(t)dt, \quad (2)$$

где  $h(t)$  — весовая функция фильтра, сглаживающего корреляционное произведение;  $X(t)$  — результат воздействия помехи  $N(t)$  на исследуемый НСП.

Аддитивная помеха. В этом случае

$$X(t) = S(t) + N(t); \quad (3)$$

$$\tilde{R}_S(t_0, \tau) = \int_0^T h(t)[S(t_0-t) + N(t_0-t)][S(t_0-t-\tau) + N(t_0-t-\tau)]dt. \quad (4)$$

В качестве критерия точности оценки (4) воспользуемся полной погрешностью измерения

$$\varepsilon[\tilde{R}_S(t_0, \tau)] = \{\Delta^2[\tilde{R}_S(t_0, \tau)] + \sigma^2[\tilde{R}_S(t_0, \tau)]\}^{\frac{1}{2}}, \quad (5)$$

где  $\Delta[\tilde{R}_S(t_0, \tau)]$  и  $\sigma^2[\tilde{R}_S(t_0, \tau)]$  — смещение и дисперсия оценки  $\tilde{R}_S(t_0, \tau)$ .

На рис. 1—3 представлены графики  $\varepsilon[\tilde{R}_S(t_0, \tau)]$ , полученные на ЦВМ для взаимно-некоррелированных  $S(t)$  и  $N(t)$  при  $\langle N(t) \rangle = 0$ :

$$h(t) = \frac{1}{T} \operatorname{rect}\left(\frac{t - \frac{T}{2}}{T}\right); \quad (6)$$

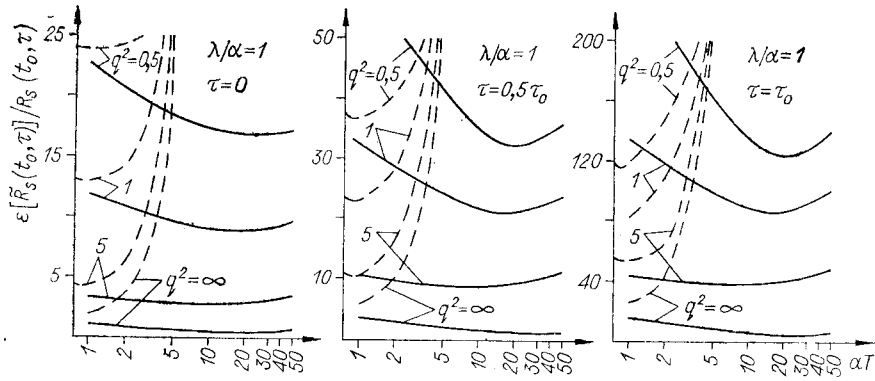


Рис. 1.

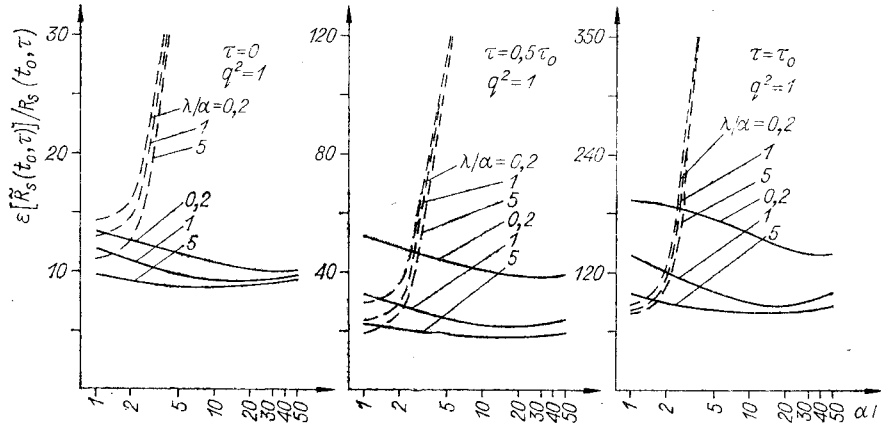


Рис. 2.

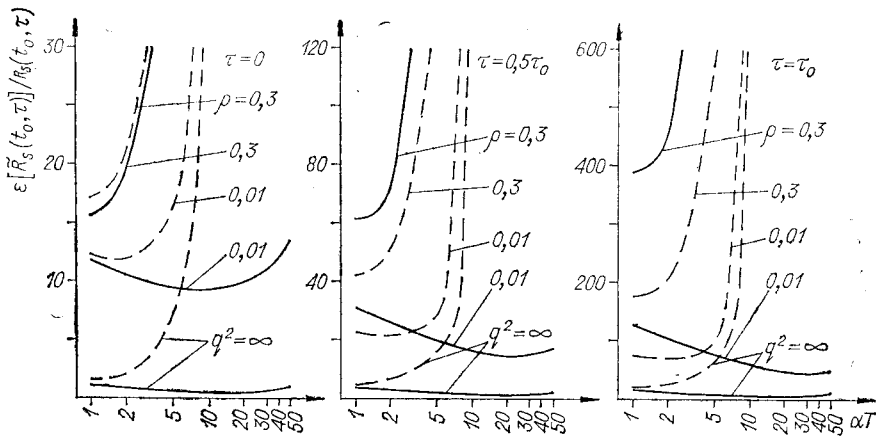


Рис. 3.

$$R_S(t, \tau) = \sigma_Z^2 e^{-2\beta t + \beta\tau - \alpha|\tau|}; \quad (7)$$

$$R_N(t, \tau) = \sigma_N^2 e^{-2\mu t + \mu\tau - \lambda|\tau|}. \quad (8)$$

На рис. 1,  $2\mu=0$  (стационарная помеха):  $\beta t_0=1$ ;  $q^2 = \sigma_Z^2/\sigma_Y^2$ ;  $\gamma = \beta/\alpha = 0,01$  — сплошные кривые;  $\gamma = 0,5$  — штриховые. На рис. 3  $\mu \neq 0$  (нестационарная помеха);  $\rho = \mu/\alpha$ ;  $q^2 = 1$ ;  $\lambda/\alpha = 1$ ;  $(\beta - \mu)t_0 = 1$ ;  $\gamma = 0,01$  — сплошные кривые;  $\gamma = 0,3$  — штриховые. Величина  $\tau_0$  определяется из условия  $R_Z(\tau_0) = 0,05R_Z(0)$ .

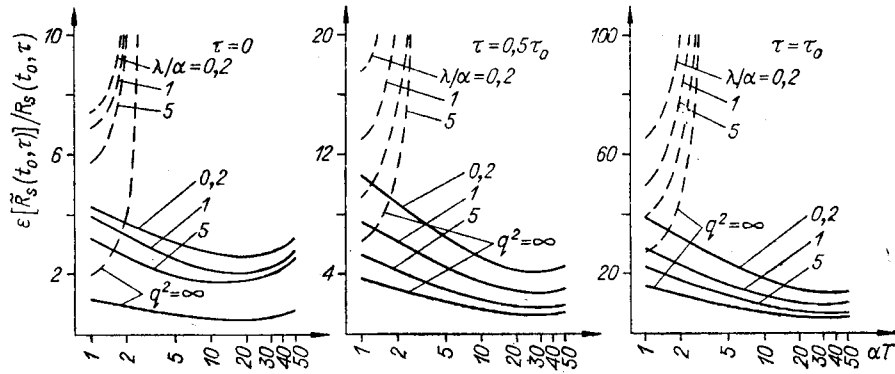


Рис. 4.

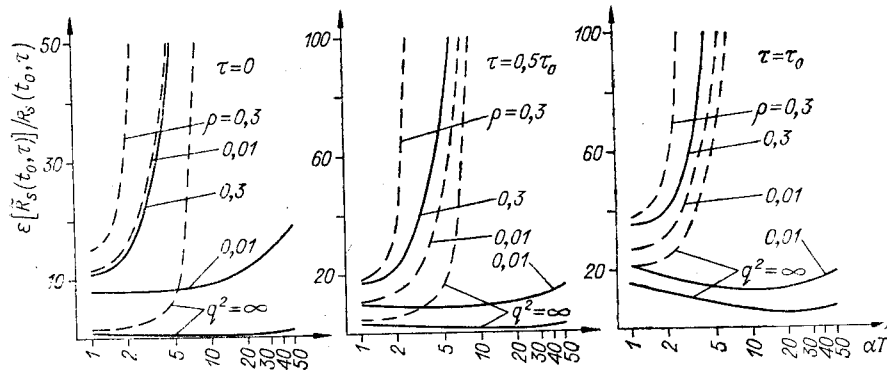


Рис. 5.

Мультипликативная помеха. При таком воздействии помехи  $N(t)$  на исследуемый процесс  $S(t)$

$$X(t) = S(t) [1 + N(t)]. \quad (9)$$

В результате

$$\tilde{R}_S(t_0, \tau) = \int_0^T h(t) S(t_0 - t) [1 + N(t_0 - t)] S(t_0 - t - \tau) [1 + N(t_0 - t - \tau)] dt. \quad (10)$$

Полная погрешность оценки (10) вычислена для  $\sigma_N^2 = 1$  при  $h(t)$ ,  $R_S(t, \tau)$  и  $R_N(t, \tau)$  вида (6), (7) и (8) соответственно и некоррелированных  $S(t)$  и  $N(t)$ . Она представлена на рис. 4 при  $\mu = 0$ , где сплошные кривые соответствуют  $\gamma = 0,01$ , штриховые —  $\gamma = 0,5$ , и на рис. 5 при  $\mu \neq 0$ ,  $(\beta - \mu)t_0 = 1$ ,  $\lambda/\alpha = 1$ ,  $\mu t_0 = 1$ , где сплошные кривые —  $\gamma = 0,01$ , штриховые —  $\gamma = 0,3$ . Для сравнения на рис. 1, 3–5 приведены графики  $\varepsilon [\tilde{R}_S(t_0, \tau)]$  при отсутствии помехи ( $q^2 = \infty$ ).

Приведенные результаты выявляют специфику влияния нестационарности помехи на точность измерения корреляционной функции НСП  $S(t)$ . Последняя особенно четко проявляется в ситуации, когда  $N(t)$  — процесс с быстрой нестационарностью (например,  $\rho = 0,3$ , как на рис. 3 и рис. 5), а исследуемый процесс — медленнонестационарный ( $\gamma = 0,01$ ). В этом случае оптимальное значение интервала сглаживания  $T_{\text{опт}}$ , соответствующее минимуму полной погрешности измерения, оказывается меньше, чем в отсутствие помехи. Причем  $T_{\text{опт}}$  тем меньше, чем быстрее нестационарность помехи (больше  $\rho$ ).

Отметим, что с убыстрением нестационарности  $N(t)$  растет полная погрешность измерения  $R_S(t_0, \tau)$ .

Поступило в редакцию 20 июня 1972 г.